

## کاربرد تئوری گشتاورهای خطی در تحلیل تناوب سیل حوزه‌های آبخیز مرکزی ایران

سیدسعید اسلامیان<sup>۱</sup> و ستار چاوشی بروجنی<sup>۲</sup>

### چکیده

روش‌های بسیاری برای بررسی سیلاب حوزه‌های آبخیز وجود دارد، که از جمله می‌توان به تحلیل منطقه‌ای سیلاب اشاره کرد. رهیافت تحلیل منطقه‌ای سیلاب متکی بر ویژگی‌های فیزیکی، اقلیمی و اکولوژیک حوزه‌های آبخیز بوده، از روش‌های آماری در بررسی داده‌های مشاهداتی جریان استفاده می‌کند. این رهیافت دارای شیوه‌های متعددی است. هاسکینگ و والیس با گسترش روش گشتاور وزنی احتمال، آماره‌های گشتاور خطی را به عنوان رهیافتی جدید در تحلیل تناوب سیل حوزه‌های آبخیز ارائه نمودند. تئوری گشتاورهای خطی اساس پژوهش حاضر را تشکیل می‌دهد. در این پژوهش ۲۷ ایستگاه هیدرومتری واقع در منطقه مرکزی ایران بررسی گردید.

با استفاده از نمودار گشتاور خطی، منحنی چولگی خطی در برابر کشیدگی خطی و مناسب‌ترین توزیع‌های قابل برآش برای هر یک از ایستگاه‌های مطالعاتی تعیین شد. سپس به منظور حذف ایستگاه‌های غیر همگن، آزمون‌های همگنی مبتنی بر پارامترهای ناهمگنی و ناهمگنی انجام گرفت و سرانجام دو ایستگاه بارز و گیرآباد به عنوان ایستگاه‌های ناهمگن شناخته شدند. در مرحله بعد، آزمون نیکویی برآش به منظور تعیین مناسب‌ترینتابع توزیع منطقه انجام، و به ترتیب توزیع‌های لجستیک تعمیم یافته، مقادیر حد تعمیم یافته، نرمال تعمیم یافته، پیرسون نوع سوم و پارتو تعمیم یافته مناسب‌ترین توزیع برای منطقه شناخته شدند. در نهایت، مقادیر تخمینی دبی با تناوب مختلف در منطقه تعیین، و پارامترهای منطقه‌ای توزیع‌های منتخب ارائه گردید.

**واژه‌های کلیدی:** گشتاور خطی، گشتاور وزنی احتمال، تحلیل منطقه‌ای سیلاب

۱. دانشیار آبیاری، دانشکده کشاورزی، دانشگاه صنعتی اصفهان

۲. عضو هیأت علمی، مرکز تحقیقات منابع طبیعی و امور دام، سازمان جهاد کشاورزی اصفهان

**مقدمه**

را بر اساس شکل تابع تراکم و زمان وقوع سیل به ۹ ناحیه همگن تقسیم نمود، به طوری که نواحی همگن مکانیسم تولید سیلاب مشابه داشتند. نتایج این پژوهش نشان دهنده ناکارآمدی مدل‌های غیر پارامتری در جداسازی مکانیسم‌های مختلف سیلاب، و در پی آن ضعف در تعیین نواحی همگن می‌باشد.

ووگل و همکاران (۱۲) با استفاده از تئوری گشتاورهای خطی به بررسی تناوب سیل حوزه‌های آبخیز استرالیا پرداختند، و ۶۱ ایستگاه هیدرومتری را در سرتاسر این کشور بررسی کردند. بر پایه نتایج این پژوهش، توزیع‌های مقدایر حد تعمیم یافته (GEV) یا General extreme-value (Wakeby) و ویکبی (GPA) یا Generalized Pareto بهترین تقریب را با داده‌های جریان در مناطقی از استرالیا که عمده بارش آن ناشی از رگبارهای زمستانه است دارد، و برای دیگر حوزه‌های آبخیز استرالیا توزیع‌های پارتو تعمیم یافته داده‌های مشاهداتی جریان دارند.

کاربرد هیدرولوژیک گشتاورهای وزنی احتمال (PWM) یا Probability weighted moments گرینوود و همکاران (۲) و لندور و همکاران (۱۰) ارائه شد، و سپس توسط هاسکینگ و همکاران (۹)، هاسکینگ (۳) و هاسکینگ و والیس (۶) گسترش یافت. هاسکینگ و والیس (۶) با گسترش گشتاورهای وزنی احتمال، برای نخستین بار گشتاورهای خطی را ارائه نمودند. هاسکینگ (۴) نشان داد که گشتاورهای خطی نوع اول و دوم، نسبت‌های گشتاور خطی سوم به دوم و گشتاور خطی چهارم به دوم، توصیف مفیدی از نمونه‌های تصادفی داده‌های آماری می‌دهد. نمودارهای نسبت‌های گشتاورهای خطی که توسط والیس (۱۳) و هاسکینگ (۴) ارائه شد ابزار مناسبی در گروه‌بندی هیدرولوژیک حوزه‌های آبخیز می‌باشد.

پیرسون (۱۱) با استفاده از نمودارهای گشتاور خطی به گروه‌بندی ۲۷۵ ایستگاه در نیوزیلند پرداخت. ایستگاه‌های مورد بررسی دارای حداقل ۱۰ سال داده مشاهداتی بودند، به طوری که میانگین طول آمار مشاهداتی منطقه ۲۱ سال گزارش شده

تحلیل منطقه‌ای سیلاب شاید یکی از بحث‌انگیزترین موضوعات در هیدرولوژی سیلاب می‌باشد، و سال‌هاست توجه پژوهندگان بسیاری را به خود جلب کرده است. به علت آثار گسترده اقتصادی و زیست محیطی، تحلیل منطقه‌ای سیلاب از اهمیت ویژه‌ای برخوردار است. بنابراین، پژوهش در زمینه بهبود روش‌های تخمین سیلاب هم چنان ادامه دارد.

در دهه‌های هفتاد و هشتاد میلادی بیشترین تلاش‌ها صرف گسترش روش‌های کارآمد تحلیل تناوب سیل در ایستگاه‌های هیدرومتری گردید. توزیع‌های آماری جدید و روش‌های تخمین کارآمدتر در منابع مختلف هیدرولوژی معرفی شد، که برخی از آنها مختص تحلیل تناوب سیل می‌باشد. به نظر می‌رسد که این روند تا حدودی در آغاز دهه نود نیز آشکار گردیده است. تحلیل منطقه‌ای شاید پایدارترین روش به منظور بهبود تخمین تناوب سیل باشد، و به نظر می‌رسد که تلاش در این زمینه مورد توجه پژوهندگان قرار گرفته است.

هدف از تحلیل منطقه‌ای سیلاب تخمین مقدایر جریان و تناوب وقوع آن در یک حوزه مورد نظر است. دوره بازگشت، که فواصل احتمالی وقوع نیز نامیده می‌شود، بستگی به طبیعت پروژه و پیامدهای سیلاب دارد. به عنوان مثال، سدها و بندھای مهار سیلاب برای مقاومت در برابر سیلاب‌های با دوره بازگشت به ترتیب ۱۰ هزار و ۵۰ سال در طول عمر مفید سازه طراحی می‌شوند. روابط موجود میان عظمت سیل و دوره وقوع آن به عنوان منحنی تناوب سیل شناخته شده، و می‌توانند برای اهداف مهندسی، همچون طراحی پل‌ها، سدها، نهرهای انحراف آب و سازه‌های کنترل سیل استفاده شوند.

آدامفسکی (۱) در پژوهشی به مقایسه روش‌های غیر پارامتری (Non-parametric procedures) و گشتاور خطی (L-moment) در تحلیل منطقه‌ای سیلاب حوزه‌های واقع در استان‌های انتاریو و کبک کانادا پرداخت. وی در پژوهش خود از داده‌های حداقل سالیانه و سری‌های جزوی سیلاب استفاده کرد، و در نخستین گام حوزه‌های مورد بررسی

همانند هر تحلیل آماری، نخستین گام در تحلیل تناوب سیل، بررسی دقیق داده‌های مشاهداتی و رفع خطاهای بزرگ و ناهمگنی داده‌هاست. در این جا اطلاعات خارجی، به ویژه پیرامون روش‌های اندازه‌گیری و جمع‌آوری داده‌ها، و همچنین هر گونه تغییر در کاربری اراضی که بر جریان سیلاب در حوزه‌های آبخیز تأثیر گذاشته است، می‌تواند سودمند باشد.

گام بعد در تحلیل منطقه‌ای سیلاب، تخصیص ایستگاه‌های مورد بررسی به یک ناحیه همگن است. یک ناحیه همگن مجموعه‌ای از حوزه‌های آبخیز است که دارای توزیع‌های تناوب سیل تقریباً یکسان بوده، به عنوان یک واحد اساسی تحلیل تناوب سیل منطقه‌ای شناخته می‌شود. در این مورد، اصراری بر مجاورت جغرافیایی حوزه‌های آبخیز نیست، بلکه در عوض نواحی همگن باید متشکل از حوزه‌هایی باشند که از لحاظ ویژگی‌های مؤثر بر رفتار سیلاب، یکسان باشند. این ویژگی‌ها شامل عرض جغرافیایی، میانگین ماهیانه بارش سالیانه، سطح حوزه، نوع خاک و ظرفیت ذخیره دریاچه‌ها و مرداب‌های است. البته طول و عرض جغرافیایی نیز جزو ویژگی‌های آبخیزها هستند، و ممکن است به عنوان جانشینی برای ویژگی‌های دیگر باشند که با تغییر مکان تغییر تدریجی داشته و اندازه‌گیری نشده باشند.

پس از تعیین ناحیه همگن، گام بعد در تعیین مدل‌های آماری، انتخاب یک توزیع تناوب سیل مناسب است. این یک مشکل آماری عمومی است که معمولاً با محاسبه آماره‌های توزیع از داده‌های مشاهداتی حل می‌شود. این رهیافت می‌تواند در تحلیل تناوب سیل نیز به کار رود، به شرط آن که ملاحظات زیر در نظر گرفته شود. نخست آن که، داده‌های موجود یک نمونه تصادفی منحصر به فرد نبوده، بلکه یک دسته از نمونه‌های جمع‌آوری شده از ایستگاه‌های مختلف باشد. دوم، صرف این که توزیع منتخب با داده‌های مشاهداتی برآذش بسیار خوب داشته باشد کافی نیست، بلکه باید بتواند تخمین‌های مناسبی از سیل ارائه دهد که نسبت به انحرافات معقول هیدرولوژیک توزیع حقیقی تناوب سیل منطقه از توزیع تناوب سیل منتخب

است. کاربرد تئوری گشتاورهای خطی در بررسی سیلاب‌های نیوزیلند نشان می‌دهد که سری‌های سیلاب سالیانه منطقه سات کانتربری (South Canterbury) با توزیع مقادیر حد نوع دوم (Extreme value type 2 EV2) یا (Extreme value type 1 EV1) یا که نتایج پژوهش‌های قبلی توزیع مقادیر حد نوع اول (Extreme value type 1 EV1) را به عنوان بهترین توزیع برای این منطقه معرفی می‌کرد (۱۱).

هدف از پژوهش حاضر بررسی روش گشتاورهای خطی در تعیین تناوب سیل در منطقه مرکزی ایران است. کمبود ایستگاه‌های سنجش دبی، کوتاهی دوره آماری، وجود داده‌های پرت در دوره مشاهداتی، که ناشی از وقایع نادر سیلابی در منطقه است، و وجود سال‌های بدون جریان در دوره آماری موجود، مهم‌ترین مشکلات در بررسی تناوب سیل در منطقه است، که استفاده از روش‌های منطقه‌ای را ناگزیر می‌سازد.

## مواد و روش‌ها

### مدل‌های منطقه‌ای تناوب سیل

بیشتر شیوه‌های منطقه‌ای تحلیل تناوب سیل مبتنی بر استفاده از دبی‌های اوج سالیانه یا سری سالیانه است، در حالی که در برخی دیگر از روش‌ها از سری‌های جزئی استفاده می‌شود. در حال حاضر، روش‌های رگرسیون و سیل شاخص بیش از روش‌های دیگر رایج است. در حالی که روش رگرسیون به طور گسترده‌ای در ایالات متحده، استرالیا و دیگر نقاط دنیا استفاده می‌شود، روش سیل شاخص نیز مورد توجه پژوهندگان واقع شده است.

عموماً تحلیل منطقه‌ای سیلاب شامل پنج مرحله زیر است، به طوری که سه مرحله نخست تابع قضاوت‌های شخصی است:

۱. تهییه داده‌های مشاهداتی
۲. تعیین مناطق همگن
۳. انتخاب یک توزیع تناوب منطقه‌ای
۴. تخمین پارامترهای توزیع تناوب منطقه‌ای
۵. برآورد سیل در مناطق بدون ایستگاه

احتمال می باشند (۵):

$$\beta r = E \left\{ X [F(x)]^r \right\} \quad [1]$$

که در آن  $F(x)$  تابع توزیع تجمعی  $x$  می باشد. تخمین های نمونه ناواریب از PWM برای هر توزیع از روابط زیر به دست می آید:

$$\beta_0 = \frac{1}{n} \sum_{j=1}^n X_j \quad [2]$$

$$\beta_1 = \sum_{j=1}^{n-1} \left[ \frac{(n-j)}{n(n-1)} \right] X_j \quad [3]$$

$$\beta_2 = \sum_{j=1}^{n-2} \left[ \frac{(n-j)(n-j-1)}{n(n-1)(n-2)} \right] X_j \quad [4]$$

$$\beta_3 = \sum_{j=1}^{n-3} \left[ \frac{(n-j)(n-j-1)(n-j-2)}{n(n-1)(n-2)(n-3)} \right] X_j \quad [5]$$

که در آن  $X$  داده های مرتب شده جریان با  $X_1$  به عنوان بزرگترین داده مشاهداتی، و  $X_n$  به عنوان کوچکترین داده می باشد. چهار گشتاور خطی نخست که به عنوان ترکیبات خطی گشتاور وزنی احتمال بیان می شوند عبارت اند از (۴):

$$\lambda_1 = \beta_0 \quad [6]$$

$$\lambda_2 = 2\beta_1 - \beta_0 \quad [7]$$

$$\lambda_3 = 6\beta_2 - 6\beta_1 + \beta_0 \quad [8]$$

$$\lambda_4 = 20\beta_3 - 30\beta_2 + 12\beta_1 - \beta_0 \quad [9]$$

در روابط فوق میانگین گشتاور خطی یا  $\lambda_1$ ، معیاری از تمایل به مرکز، و انحراف معیار گشتاور خطی یا  $\lambda_2$ ، معیاری از پراکندگی است. نسبت  $\lambda_2$  به  $\lambda_1$  یا  $\lambda_2$  به عنوان ضریب تغییرات گشتاور خطی (Lcv) یا  $Lcv$  (L-coefficient of variation)، نسبت  $\lambda_3$  به  $\lambda_2$  یا  $\lambda_3$  به عنوان ضریب چولگی گشتاور خطی (Lskew) یا  $Lskewness$  (L-skewness)، و نسبت  $\lambda_4$  به  $\lambda_2$  یا  $\lambda_4$  به عنوان ضریب کشیدگی گشتاور خطی (L kurt) یا  $Lkurt$  (L-kurtosis) نامیده می شود. با استفاده از گشتاورهای خطی می توان آزمون همگنی (Discordancy test) و آزمون ناهماهنگی (Homogeneity test) یستگاه های مورد بررسی را انجام داد.

منطقه حساس نباشد. تخمین توزیع تناوب سیل منطقه ای را می توان با تخمین توزیع هر ایستگاه به طور مجزا و ترکیب تخمین های ایستگاه ها تا تعیین میانگین منطقه ای انجام داد. یکی از شیوه های مؤثر در نیل به این هدف، روش گشتاورهای خطی منطقه ای است، که در زیر خواهد آمد.

### گشتاورهای خطی

گشتاورهای خطی ترکیبات خطی از آماره های ترتیبی (Order statistics) هستند که به داده های پرت (Outliers) حساس نبوده و برای نمونه های کوچک از داده های مشاهداتی غیر اریب می باشند. بنابراین، کاربرد آنها برای تحلیل تناوب سیل (تعیین توزیع مناسب و تخمین پارامترهای توزیع) مناسب است (۴ و ۷).

گشتاورهای خطی از لحاظ نظری مزایایی بر گشتاورهای متعارف دارند، از جمله آن که می توانند دامنه گسترده تری از توابع توزیع را مشخص کنند، و هنگامی که از یک نمونه مشاهداتی تخمین زده می شوند نسبت به داده های پرت موجود در آن نمونه حساسیت ندارند. به سخن دیگر، برآورده های گشتاورهای متعارف مانند واریانس و ضریب چولگی نمونه، داده های مشاهداتی را به ترتیب به توان های ۲ و ۳ می رسانند، که بدین ترتیب وزن بیشتری به داده های پرت داده می شود، و نهایتاً منجر به اریب و واریانس زیاد آنها می گردد (۱۴).

در برابر، برآورده های گشتاورهای خطی، توابع خطی از مقادیر نمونه مشاهداتی هستند، و از این رو غیر اریب بوده، نسبت به داده های پرت حساس نیستند. هم چنین، برتری دیگر گشتاورهای خطی نسبت به گشتاورهای وزنی احتمال، توانایی آنها در خلاصه کردن یک توزیع آماری به شیوه ای معنی دارتر است.

به طور کلی، مهم ترین کاربردهای گشتاورهای خطی را می توان در حل مسائل مربوط به تخمین پارامترهای توزیع، تعیین توزیع، خلاصه کردن توزیع آماری و منطقه ای کردن نام برد. گشتاورهای خطی، ترکیبات خطی گشتاورهای وزنی

### آزمون همگنی

اگر تغییرپذیری ایستگاهها یا فضای پراکنش ایستگاهها بزرگ باشد، احتمال تعلق این ایستگاهها به یک مجموعه واحد را می‌توان به وسیله آزمون همگنی گشتاورهای خطی بررسی کرد. آزمون‌های همگنی گشتاورهای خطی یک توزیع چهار پارامتری کاپا را به سری داده‌های مشاهداتی منطقه برآش داده، به وسیله شبیه‌سازی عددی (ریاضی)، یک دسته ۵۰۰ تایی از داده‌های منطقه‌ای معادل را تولید می‌کند، و سپس تغییرپذیری گشتاورهای خطی ناحیه واقعی را با گشتاورهای خطی سری شبیه‌سازی مقایسه می‌نماید (۷). سه آماره ناهمگن در بررسی تغییرپذیری سه آماره خطی مختلف به کار گرفته می‌شود: آماره  $H_1$  برای بررسی ضریب تغییرات خطی (Lcv)، آماره  $H_2$  برای ترکیبی از ضریب تغییرات خطی و ضریب چولگی خطی (Lskew)، و آماره  $H_3$  برای ترکیبی از ضریب چولگی خطی و ضریب کشیدگی خطی (Lkurt). هر یک از آماره‌های  $H$  دارای فرم عمومی زیر است:

$$H = (V_{\text{obs}} - \mu V) / \sigma V \quad [14]$$

به طوری که  $\mu V$  و  $\sigma V$  به ترتیب میانگین و انحراف معیار مقادیر شبیه‌سازی شده متغیر مورد نظر، و پارامتر  $V_{\text{obs}}$  مقادیر محاسبه شده متغیر مورد نظر با استفاده از داده‌های منطقه‌ای است، و مبنی بر یک آماره  $V$  است، که برای هر یک از آماره‌های  $H$  (به ترتیب  $H_1$ ,  $H_2$  و  $H_3$ ) به صورت زیر تعریف می‌شود:

$$V_1 = \sum_{i=1}^N \left( n_i (Lcv_i - \bar{Lcv})^2 \right) / \sum_{i=1}^N n_i \quad [15]$$

$$V_2 = \sum_{i=1}^N \left( n_i \left[ (Lcv_i - \bar{Lcv})^2 + (\tau_{3i} - \bar{\tau}_3)^2 \right]^{1/2} \right) / \sum_{i=1}^N n_i \quad [16]$$

$$V_3 = \sum_{i=1}^N \left( n_i \left[ (\tau_{3i} - \bar{\tau}_3)^2 + (\tau_{4i} - \bar{\tau}_4)^2 \right]^{1/2} \right) / \sum_{i=1}^N n_i \quad [17]$$

طبق تعریف، در صورتی که  $H < 1$  باشد منطقه همگن، وقتی  $H \geq 2$  باشد منطقه احتمالاً ناهمگن، و هنگامی که  $H \geq 2$  باشد منطقه غیر همگن است (۷). بنابراین، یک مجموعه از

### الف) انتخاب توزیع مناسب با استفاده از نمودارهای گشتاورهای خطی

روابط تئوریک بین  $\tau_3$  و  $\tau_4$  برای توزیع‌های مختلف به دست آمده است (۴). انتخاب یک توزیع پارامتری مناسب برای توصیف داده‌های ایستگاه‌های مورد بررسی مبتنی بر مجاورت مقادیر میانگین پارامترهای  $\tau_3$  و  $\tau_4$  منطقه با نقطه یا خط تئوریک هر توزیع، و نیز تغییرپذیری آنها پیرامون مقادیر میانگین مربوطه است.

### ب) آزمون ناهماهنگی

اگر یک ایستگاه منفرد در نمودار گشتاور خطی در محدوده فضای دو بعدی ( $\tau_3$  و  $\tau_4$ ) واقع نشود، یک آزمون ناهماهنگی مبتنی بر گشتاورهای خطی به منظور بررسی ضرورت حذف ایستگاه از مجموعه ایستگاه‌های مورد بررسی انجام می‌گیرد. این آزمون با محاسبه آماره  $D$  انجام می‌شود. فرض کنیم که تابع  $U_i$  برداری در برگیرنده نسبت‌های گشتاورهای خطی برای ایستگاه  $i$  باشد (۷)، بنابراین:

$$U_i = [Lcv_i, \tau_{3i}, \tau_{4i}]^T \quad [10]$$

میانگین‌های گروه ( $\bar{U}$ ) و ماتریس کوواریانس نمونه ( $S$ ) به صورت زیر تعریف می‌شوند:

$$\bar{U} = \frac{1}{N} \sum_{i=1}^N U_i \quad [11]$$

$$S = \left( \frac{1}{N-1} \right) \sum_{i=1}^N (U_i - \bar{U})(U_i - \bar{U})^T \quad [12]$$

$$D_i = \frac{1}{3} (U_i - \bar{U})^T S^{-1} (U_i - \bar{U}) \quad [13]$$

به طوری که  $N$  تعداد کل ایستگاه‌هاست. شایان ذکر است که میانگین  $D_i$  در کل ایستگاه‌ها برابر یک است (۱). اگر آماره  $D$  مربوط به یک ایستگاه بیش از ۳ باشد، داده‌های مشاهداتی آن ایستگاه ناهماهنگ با دیگر ایستگاه‌های منطقه در نظر گرفته شده و دو احتمال بررسی می‌شود: یا این که در بین داده‌های مشاهداتی خطاهایی وجود دارد، و یا ایستگاه مربوطه در این ناحیه همگن نیست (۸).

ویکی، نرمال تعمیم یافته، کاپا و پیرسون نوع سوم را دارد. ورودی برنامه شامل اطلاعات مربوط به ایستگاه‌های مورد بررسی مانند نام و کد ایستگاه، تعداد سال آماری و دبی مشاهداتی جریان در طول دوره آماری است، که با فرمت مخصوص تهیه می‌شود.

#### منطقه مورد بررسی

منطقه مورد بررسی شامل سه حوزه بزرگ در مرکز ایران به نام‌های زاینده‌رود، کارون شمالی و قم می‌باشد (شکل‌های ۱ تا ۳). از مجموع ۳۶ ایستگاه هیدرومتری موجود در این منطقه، تعداد ۲۷ ایستگاه بررسی گردیده، که مشخصات آنها در جدول ۱ آمده است.

#### الف) حوزه آبخیز زاینده‌رود

حوزه آبخیز زاینده‌رود در بخش میانی فلات مرکزی ایران و در مختصات جغرافیایی  $2^{\circ} ۵۰' \text{ تا } ۲۴^{\circ} ۵۳'$  طول شرقی و  $۳۱^{\circ} ۱۲' \text{ تا } ۴۲^{\circ} ۳۳'$  عرض شمالی قرار دارد. بهنئه این حوزه آبخیز مرکزی ۴۱۳۴۷ کیلومتر مربع بوده، بخش عمده آن در استان اصفهان و بخش کوچکی از آن در استان‌های چهار محال و بختیاری و فارس واقع است. این حوزه از کوه‌رنگ شروع شده و به باتلاق گاوخونی ختم می‌گردد، و از شمال به حوزه آبخیز مرکزی (دریاچه نمک)، از شرق به حوزه آبخیز اردستان و کویر سیاه کوه، از جنوب به حوزه کویر ابرقو-سیرجان و از غرب و جنوب غربی به حوزه آبخیز رودخانه کارون محدود می‌شود (شکل ۲).

#### ب) حوزه آبخیز قم

این حوزه در حاشیه شمال غربی تا غرب حوزه بزرگ مرکزی است و کویرهای قم، اراک، کاشان تا دریاچه نمک در شرق را در بر می‌گیرد. حوزه قم از شمال به دامنه‌های جنوبی البرز و از جنوب به دامنه‌های شمالی و شمال شرق زاگرس محدود می‌شود. بهنئه حوزه ۹۴۰۰ کیلومتر مربع است، که خود متشکل

ایستگاه‌های مورد بررسی باید دارای پارامتر H کمتر از ۲ باشد تا به عنوان ناحیه احتمالاً همگن در نظر گرفته شود (۱).

#### آزمون نیکویی برآراش (Goodness of fit test) برای تعیین توزیع‌های اولیه

هنگامی که داده‌های موجود در یک ناحیه همگن بوده و متعلق به یک توزیع پارامتری منفرد باشند، آزمون برآزندگی مبتنی بر گشتاورهای خطی انجام می‌گیرد تا یکی از توزیع‌های رایج انتخاب و پارامترهای آن تخمین زده شود. سپس تناوب‌های سیل در داخل یک ناحیه بر اساس توزیع منطقه‌ای منتخب تعیین می‌شود. معیار برآزندگی برای هر توزیع بر اساس گشتاورهای خطی تعیین و آماره Z نام می‌گیرد (۷).

$$Z^{\text{DIST}} = (\bar{\tau}_4^{\text{DIST}} - \bar{\tau}_4 + \beta_4) \sigma_4 \quad [18]$$

که DIST اشاره به توزیع منتخب می‌کند.  $\beta_4$  و  $\sigma_4$  به ترتیب مقدار اریب و انحراف از معیار  $\tau_4$  یا ضریب کشیدگی خطی می‌باشند و به صورت زیر تعریف می‌شوند:

$$\beta_4 = 1 / N_{\text{sim}} \sum_{m=1}^{N_{\text{sim}}} (\bar{\tau}_{4m} - \bar{\tau}_4) \quad [19]$$

$$\sigma_4 = \sqrt{[1/(N_{\text{sim}} - 1)] \sum_{m=1}^{N_{\text{sim}}} (\bar{\tau}_{4m} - \bar{\tau}_4)^2 - N_{\text{sim}} \beta_4^2} \quad [20]$$

که  $N_{\text{sim}}$  تعداد سری داده‌های منطقه‌ای شبیه‌سازی شده است، که با استفاده از توزیع کاپا و همانند روش آماره همگن تولید گردیده است. حرف m اشاره به m امین ناحیه شبیه‌سازی شده دارد که بدین روش به دست آمده است.

#### نرم‌افزار مورد استفاده

برای انجام کلیه مراحل پژوهش از نرم‌افزار XFIT استفاده شده است (متن اولیه این برنامه توسط هاسکینگ (۵) به زبان فرترن ارائه شده ولی توسط نویسنده‌گان این مقاله ویرایش و به نرم‌افزار قابل کاربرد تبدیل شده است). این برنامه توانایی بررسی ۱۰ توزیع آماری متداول یعنی گاما، مقادیر حد تعمیم یافته، لجستیک تعمیم یافته، نرمال، پارتیو تعمیم یافته، گامبل،

جدول ۱. ایستگاه‌های هیدرومتری مورد بررسی

ردیف	رودخانه	ایستگاه	طول جغرافیایی	عرض جغرافیایی
۱	پلاسجان	اسکندری	۵۰°-۲۵'	۳۲°-۴۸'
۲	زاینده‌رود	قلعه شاهرخ	۵۰-۲۷	۳۲-۴۰
۳	سواران	سواران	۵۰-۲۳	۳۲-۵۲
۴	سمندگان	مندرجان	۵۰-۳۹	۳۲-۴۷
۵	زرچشمہ	تنگ اسفرجان	۵۱-۵۴	۳۱-۳۸
۶	آب ونک	تنگ زردالو	۵۱-۲۶	۳۱-۳۸
۷	آب ونک	تنگ سولگان	۵۱-۱۶	۳۱-۳۹
۸	بهشت‌آباد	بهشت‌آباد	۵۰-۳۸	۳۲-۰۲
۹	گلپایگان	وانشان	۵۰-۲۱	۳۳-۲۱
۱۰	کارون	ارمند	۵۰-۴۵	۳۱-۴۰
۱۱	جونقان	تنگ درکش	۵۰-۳۹	۳۲-۰۶
۱۲	کوهرنگ	چلگرد	۵۰-۰۷	۳۲-۲۸
۱۳	آب ونک	گدار کبک	۵۱-۱۴	۳۱-۴۳
۱۴	ماربر	کتا	۵۱-۱۵	۳۱-۱۱
۱۵	ماربره	ماربران	۵۰-۱۲	۳۲-۲۰
۱۶	حنا	حنا	۵۱-۴۶	۳۱-۱۳
۱۷	گلپایگان	سراب هنده	۵۰-۰۰	۳۳-۲۱
۱۸	بازفت	مرغک	۵۰-۲۸	۳۱-۴۲
۱۹	خرسان	بارز	۵۰-۲۵	۳۱-۳۱
۲۰	چشمہ لردگان	لردگان	۵۰-۰۰	۳۱-۲۸
۲۱	قهرود	گبرآباد	۵۱-۳۰	۳۳-۴۶
۲۲	بن‌رود	قمصر	۵۱-۲۵	۳۳-۴۳
۲۳	برزرود	پل هنجن	۵۱-۴۷	۳۳-۳۷
۲۴	شور	هستیجان	۵۰-۴۹	۳۳-۵۱
۲۵	سزار	تنگ پنج	۴۸-۴۵	۳۲-۵۶
۲۶	زاینده‌رود	پل زمانخان	۵۰-۵۴	۳۲-۳۰
۲۷	گلپایگان	سد گلپایگان	۵۰-۱۷	۳۲-۲۰



شکل ۱. منطقه مورد بررسی در ایران مرکزی



شکل ۲. ایستگاه‌های مورد بررسی در حوزه‌های آبخیز زاینده‌رود و قم

حوزه آبخیز سد زاینده‌رود، از شمال غرب به حوزه رودخانه دز، از جنوب به حوزه آبخیز رودخانه خرسان و از جنوب و غرب به بخش‌هایی از حوزه آبخیز کارون بزرگ محدود می‌گردد (شکل ۳).

از پنج زیر حوزه به نام‌های شور، قمرود، قره‌چای، کویر اراك و میغان، کویر کاشان و قم یا دریاچه نمک است (شکل ۲).

#### ج) حوزه آبخیز کارون شمالی

حوزه آبخیز کارون شمالی بخشی از حوزه آبخیز بزرگ کارون است، و با پهنه ۱۴۴۷۶ کیلومتر مربع در محدوده جغرافیایی  $۳۴^{\circ} ۴۹^{\prime}$  تا  $۴۷^{\circ} ۵۱^{\prime}$  طول شرقی و  $۳۱^{\circ} ۱۸^{\prime}$  تا  $۴۰^{\circ} ۳۲^{\prime}$  عرض شمالی قرار دارد. این حوزه از سمت شمال و شمال شرق به

#### نتایج و بحث

مقادیر مشاهداتی جريان و دبی اوج لحظه‌ای در طول پژوهش گردآوری و در چارچوب فایل ورودی برنامه XFIT استفاده



شکل ۳. ایستگاه‌های مورد بررسی در حوزه آبخیز کارون شمالی

منحنی، و توزیع‌های دارای چهار یا پنج پارامتر نظیر ویکبی به صورت ناحیه نشان داده شده است (۱۱). برابر با این نمودار، مناسب‌ترین توزیع برای ایستگاه‌های مورد بررسی به دست آمده است (جدول ۴).

آزمون ناهمانگی

به منظور تعیین ایستگاههایی که در فضای ۴ و ۳ نسبت به ایستگاههای دیگر پرت میباشند، آماره ناهمانگی که توسط هاسکینگ و والیس (۷) پیشنهاد گردیده است برای کلیه ایستگاههای مورد بررسی به دست آمد، که نتایج حاصله در جدول ۵ نشان داده شده است. بنا بر تعریف، ایستگاههایی که دارای آماره ناهمانگی بیش از ۳ باشند به عنوان ایستگاه پرت شناخته شده و از مجموعه ایستگاههای مطالعاتی کنار گذاشته میشوند. بدین ترتیب، ایستگاههای شماره ۴ و ۲۴، یعنی بارز و گیرآباد، ایستگاههای پرت بوده و از دیگر مراوح، پیوهش کنار گذاشته شد.

آزمون همگن

همان گونه که پیش تر ذکر شد، اگر تغییر پذیری فضای  $\tau_4$  و  $\tau_3$

شده است. جداول ۲ و ۳ خروجی برنامه فوق را نشان می‌دهد.  
همان گونه که در جدول ۲ دیده می‌شود، ستون نخست شماره ایستگاه، ستون سوم سال‌های آماری و ستون‌های بعد گشتاورهای خطی نوع اول تا چهارم ایستگاه‌های مورد بررسی را نشان می‌دهد. هم‌چنین، نسبت‌های میانگین گشتاورهای خطی منطقه‌ای در انتهای جدول آورده شده است. از مقادیر گشتاورهای خطی نوع دوم، سوم و چهارم ایستگاه‌های مورد بررسی برای ترسیم منحنی‌های گشتاورهای خطی (عموماً منحنی ضریب چولگی خطی در برابر ضریب کشیدگی خطی) استفاده می‌شود.

منحنی گشتاور خطی ابزاری مناسب در تعیین توزیع‌های آماری مناسب هر ایستگاه هیدرومتری است. نمودار ۱ مقدادیر گشتاورهای خطی نوع سوم و چهارم ایستگاه‌های مطالعاتی را به صورت نقاط پراکنده نشان می‌دهد. در این نمودار منحنی‌های مربوط به هر یک از توزیع‌های آماری مورد بررسی رسم شده است. لازم به یادآوری است که توزیع‌های آماری دارای یک یا دو پارامتر نظری کامل، نرم‌ال، مقدادیر حد نوع اول و یکنواخت به صورت نقطه‌، و توزیع‌های دارای سه پارامتر به صورت

## جدول ۲. گشتاورهای خطی نوع اول تا چهارم ایستگاههای مورد بررسی

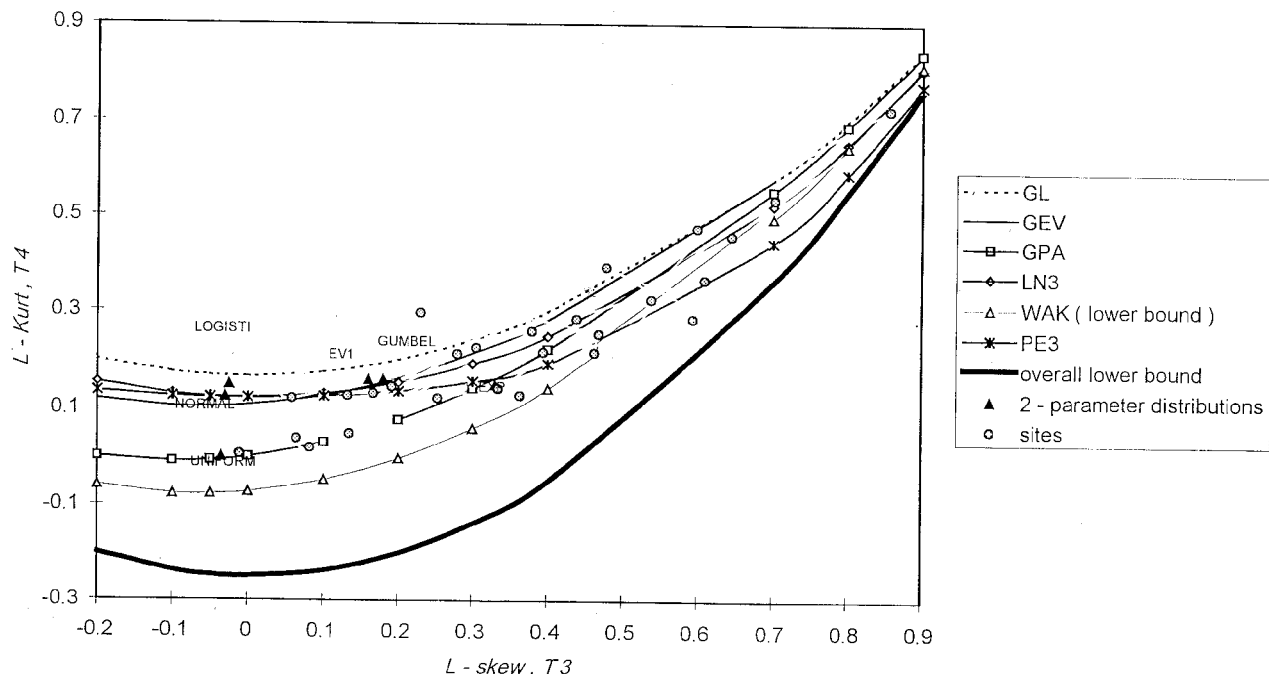
Lkurt	Lskew	Lev	L1	تعداد سال آماری	ایستگاه	شماره ایستگاه
۰/۱۳۱	۰/۱۶۷	۱۶/۲۸	۵۴/۴	۵	گدارکبک	۱
۰/۴۷۴	۰/۰۹۸	۱۷۵/۹۶۹	۲۶۴/۷۷	۱۴	تنگ سولگان	۲
۰/۱۲۸	۰/۳۶۳	۵۰/۰۱۳	۹۴/۴۸	۱۱	تنگ زردآلو	۳
۰/۰۴۸	۰/۱۳۵	۳۸۶/۷۸	۱۰۱۹/۴۲	۲۹	بارز	۴
۰/۱۴۶	۰/۱۹۱	۱/۶۹	۱۰/۹۱	۱۴	ماربران	۵
۰/۲۲۶	۰/۳۰۵	۱۷۹/۶۵۷	۸۸۲/۵۸	۳۶	مرغک	۶
۰/۲۸۵	۰/۴۳۸	۲۳۳/۸۹۹	۷۷۳/۹۷	۳۶	ارمند	۷
۰/۲۶	۰/۳۷۹	۱۰/۰۳۲	۴۵/۷۹	۳۶	لردگان	۸
۰/۰۱۹	۰/۰۸۲	۷۲/۳۶۱	۲۶۹/۸۴	۲۷	کتا	۹
۰/۱۲۷	۰/۱۳۳	۲۷۲/۷۱۷	۱۱۱۰/۶۸	۱۹	تنگ پنج	۱۰
۰/۱۲۲	۰/۲۵۳	۲/۸۸۷	۱۰/۶۵	۱۱	حنا	۱۱
۰/۲۱۶	۰/۴۶۲	۴/۳۴۹	۷/۴۲	۱۲	تنگ اسفرجان	۱۲
۰/۳۲۵	۰/۰۳۷	۷/۱۹۹	۱۲/۸۶	۸	سواران	۱۳
۰/۳۹۲	۰/۴۷۷	۱۳/۲۶۴	۳۲/۳	۲۲	اسکندری	۱۴
۰/۲۸۶	۰/۰۹۳	۴/۹۵۳	۷/۰۹	۱۳	مندرجان	۱۵
۰/۲۱۷	۰/۳۹۴	۴۰/۹۴۵	۱۲۵/۹۶	۴۵	پل زمانخان	۱۶
۰/۲۵۵	۰/۴۶۷	۳۴/۲۳۴	۶۴/۵	۳۰	سراب هنده	۱۷
۰/۲۹۷	۰/۲۳	۱۷/۸۰۴	۵۳/۴۹	۸	سد گلپایگان	۱۸
۰/۱۲۱	۰/۰۵۸	۲۸/۸۲۱	۱۱۶/۷۸	۹	تنگ درکش	۱۹
۰/۳۶۶	۰/۶۰۸	۱۶/۲۵۹	۱۹/۳۲	۹	وانشان	۲۰
۰/۰۰۶	-۰/۰۱۱	۵۵/۶۴۳	۱۹۱/۹۲	۶	بهشت آباد	۲۱
۰/۰۳۷	۰/۰۶۴	۴/۰۳۹	۱۳/۹۲	۱۷	چلگرد	۲۲
۰/۲۱۴	۰/۲۸	۸۲/۳۴	۲۶۹/۸۳	۱۸	قلعه شاهرخ	۲۳
۰/۷۲۳	۰/۸۵۷	۱/۰۹۶	۱/۳۷	۱۵	گبرآباد	۲۴
۰/۴۵۷	۰/۷۶۴	۰/۳۳۷	۰/۵۳	۱۰	قمصر	۲۵
۰/۵۳۴	۰/۷۰۲	۰/۶۱۳	۰/۷	۱۰	پل هنجن	۲۶
۰/۱۴۲	۰/۳۳۴	۲/۱۱۱	۳/۷۵	۹	هستیجان	۲۷
۰/۲۴۵۱	۰/۳۵۴	۰/۴۰۱	۱/۰۰۰	میانگین‌های منطقه‌ای نسبت‌های گشتاور خطی		

جدول ۳. مقادیر تخمینی دبی لحظه‌ای ایستگاه‌ها و منطقه در دوره مورد بررسی (متر مکعب بر ثانیه)

احتمال وقوع											شماره ایستگاه
۰/۹۹۹۹	۰/۹۹۹	۰/۹۹	۰/۹۸	۰/۹۵	۰/۹	۰/۸	۰/۵	۰/۲	۰/۱		
۹۵۴/۳۴	۴۹۱/۰۶	۲۴۰/۶۲	۲۴/۶۲	۱۹/۶۵	۱۳۷/۹۷	۱۰۳/۷۶	۴۱/۸۶	۲۲/۸	۱۵/۹۱	۱	
۳۴۴۴/۸۸	۲۳۹۰/۰۶	۱۱۷۱/۱۳	۱۱۷۱/۱۳	۹۲۷/۹۱	۶۶۷/۶۶	۵۰۵/۰۱	۲۰۳/۷۲	۱۱۰/۹۶	۷۷/۴۴	۲	
۱۶۵۷/۵	۸۵۲/۸۸	۴۱۷/۹۱	۴۱۷/۹۱	۳۳۱/۱۲	۲۳۷/۸۹	۱۸۰/۲۱	۷۲/۷	۳۹/۶	۲۷/۶۳	۳	
۱۷۸۸۳/۸	۹۲۰۲/۲۳	۴۵۰۹/۱	۴۵۰۹/۱	۳۵۷۲/۶۶	۲۵۶۶/۷۷	۱۹۴۴/۴	۷۸۴/۳۶	۴۲۷/۲۳	۲۹۸/۱۶	۴	
۱۹۱/۳۴	۹۸/۴۵	۴۸/۲۴	۴۸/۲۴	۳۸/۲۲	۲۷/۴۶	۲۰/۸	۸/۳۹	۴/۵۷	۳/۱۹	۵	
۱۵۴۸۳/۱	۷۹۶۶/۹۴	۳۹۰۳/۸	۳۹۰۳/۸	۳۰۹۳/۰۷	۲۲۲۲/۲۲	۱۶۸۳/۳۸	۶۷۹/۰۷	۳۶۹/۸۸	۲۵۸/۱۳	۶	
۱۱۸۲۳/۵	۶۰۸۳/۸۸	۲۹۸۱/۱	۲۹۸۱/۱	۲۳۶۲	۱۶۹۶/۹۷	۱۲۸۵/۵	۵۱۸/۵۷	۲۸۲/۴۶	۱۹۷/۱۲	۷	
۸۰۳/۲۳	۴۱۳/۳۱	۲۰۲/۵۲	۲۰۲/۵۲	۱۶۰/۴۶	۱۱۵/۲۸	۸۷/۳۳	۳۵/۲۳	۱۹/۱۹	۱۳/۳۹	۸	
۴۷۳۳/۷۶	۲۴۳۵/۷۹	۱۱۹۳/۵۴	۱۱۹۳/۵۴	۹۴۵/۶۷	۶۷۹/۴۱	۵۱۴/۶۷	۲۰۷/۶۲	۱۱۳/۰۹	۷۸/۹۲	۹	
۱۹۴۸۴/۸	۱۰۰۲۶	۴۹۱۲/۷۶	۴۹۱۲/۷۶	۳۸۹۲/۴۹	۲۷۹۶/۰۵	۲۱۱۷/۴۶	۸۵۴/۵۸	۴۶۵/۴۸	۳۲۴/۸۵	۱۰	
۱۸۶/۹۱	۹۶/۱۸	۴۷/۱۳	۴۷/۱۳	۳۷/۳۴	۲۷/۸۳	۲۰/۳۲	۸/۲	۴/۴۷	۳/۱۲	۱۱	
۱۳۰/۰۸	۶۶/۹۳	۳۲/۸	۳۲/۸	۲۵/۹۹	۱۸/۷۷	۱۴/۱۴	۵/۷۱	۳/۱۱	۲/۱۷	۱۲	
۲۲۵/۰۴	۱۱۷/۰۵	۵۶/۸۷	۵۶/۸۷	۴۵/۰۶	۳۲/۳۷	۲۴/۵۲	۹/۸۹	۵/۳۹	۳/۷۶	۱۳	
۵۶۶/۶۹	۲۹۱/۰۹	۱۴۲/۸۸	۱۴۲/۸۸	۱۱۳/۲۱	۸۱/۳۳	۶۱/۶۱	۲۴/۸۵	۱۳/۵۴	۹/۴۵	۱۴	
۱۱۵/۰۵	۵۹/۴۶	۲۹/۱۳	۲۹/۱۳	۲۳/۰۸	۱۶/۵۸	۱۲/۵۶	۵/۰۷	۲/۷۶	۱/۹۳	۱۵	
۲۲۰۹/۷۲	۱۱۳۷/۰۳	۵۵۷/۱۴	۵۵۷/۱۴	۴۴۱/۴۴	۱۱۷/۱۵	۲۴۰/۲۵	۹۶/۹۲	۵۲/۷۹	۳۷/۸۴	۱۶	
۱۱۳۱/۰۸	۵۸۲/۲۶	۲۸۵/۳۱	۲۸۵/۳۱	۲۲۶/۰۶	۱۶۲/۴۱	۱۲۳/۰۳	۴۹/۶۳	۲۷/۰۳	۱۸/۸۷	۱۷	
۹۳۸/۳۳	۴۸۲/۸۳	۲۳۷/۵۹	۲۳۷/۵۹	۱۸۷/۴۵	۱۳۴/۶۷	۱۰۲/۰۲	۴۱/۱۵	۲۲/۴۲	۱۵/۶۴	۱۸	
۲۰۴۸/۷۳	۱۰۵۴/۱۴	۵۱۶/۰۳	۵۱۶/۰۳	۴۰۹/۲۶	۲۹۴/۰۳	۲۲۲/۷۴	۸۹/۸۵	۴۸/۹۴	۳۴/۱۵	۱۹	
۳۳۸/۹	۱۷۴/۳۸	۸۵/۴۵	۸۵/۴۵	۶۷/۷	۴۸/۶۴	۳۷/۸۵	۱۴/۸۶	۸/۱	۵/۶۵	۲۰	
۳۳۶۶/۸	۱۷۳۲/۴۱	۸۴۸/۸۸	۸۴۸/۸۸	۶۷۲/۵۹	۴۸۳/۲۲	۳۶۶/۰۵	۱۴۷/۶۶	۸۰/۴۳	۵۶/۱۳	۲۱	
۲۴۴/۱۴	۱۲۵/۶۲	۶۱/۰۶	۶۱/۰۶	۴۸/۷۷	۳۵/۰۴	۲۶/۵۴	۱۰/۷۱	۵/۸۳	۴/۰۷	۲۲	
۴۷۳۳/۷۹	۲۴۳۵/۷۶	۱۱۹۳/۵۲	۱۱۹۳/۵۲	۹۴۵/۶۶	۶۷۹/۴	۵۱۴/۶۷	۲۰۷/۶۲	۱۱۳/۰۹	۷۸/۹۲	۲۳	
۲۴	۱۲/۳۵	۶/۰۵	۶/۰۵	۴/۷۹	۳/۴۴	۲/۶۱	۱/۰۵	۰/۵۷	۰/۴	۲۴	
۹/۳۸	۴/۸۳	۲/۳۶	۲/۳۶	۱/۸۷	۱/۳۵	۱/۰۲	۰/۴۱	۰/۲۲	۰/۱۶	۲۵	
۱۲/۲۹	۶/۳۲	۳/۱	۳/۱	۲/۴۶	۱/۷۶	۱/۳۴	۰/۵۴	۰/۲۹	۰/۲	۲۶	
۵۶/۸۴	۳۳/۸۸	۱۶/۶	۱۶/۶	۱۳/۱۵	۹/۴۵	۷/۱۶	۲/۸۹	۱/۵۷	۱/۱	۲۷	
۱۳/۰۴	۹/۰۳	۴/۴۲	۴/۴۲	۳/۵	۲/۰۲	۱/۹۱	۰/۷۷	۰/۴۲	۰/۲۹	ناحیه	

صورتی که هر یک از پارامترهای  $H$  کمتر از یک باشد، می‌توان منطقه را همگن در نظر گرفت. جدول ۶ نتایج هر یک از آزمون‌های  $H$  را نشان می‌دهد. برابر با این جدول، پارامترهای  $H_1$ ,  $H_2$  و  $H_3$  در منطقه به ترتیب  $0/۶۶$ ,  $۰/۰۶$  و  $۱/۱۴$  است، که در مجموع نشان دهنده همگن بودن منطقه است.

زیاد باشد، می‌توان احتمال این که مجموعه ایستگاه‌های مورد بررسی متعلق به یک جمعیت منفرد نباشند را توسط آزمون‌های همگنی گشتاور خطی بررسی کرد. سه آزمون مورد استفاده عبارتند از:  $H_1$  برای  $Lcv$ ,  $H_2$  برای ترکیبی از  $Lskew$  و  $Lkurt$  و  $H_3$  برای ترکیبی از  $Lkurt$  و  $Lcv$ . طبق تعریف، در



نمودار ۱. نسبت‌های گشتاور خطی برای چند توزیع آماری متدالو

جدول ۴. انتخاب مناسب‌ترین توزیع برای ایستگاه‌های مورد بررسی

ایستگاه	توزیع منتخب
بهشتآباد، چلگرد، کتا، بارز، حنا، تنگ زرداو، پل زمانخان	GPA (پارتو تعمیم یافته)
اسکندری، سد گلپایگان	GL (لجستیک تعمیم یافته)
گبرآباد، ارمند، قمصر، پل هنجن	LN3 (لوگ نرمال سه پارامتری)
زرکش، قلعه شاهرخ، مرغک، گدار کبک، سولگان	GEV (مقادیر حد تعمیم یافته)
تنگ پنج، لردگان، ماربران، سراب هنده، سواران، وانشان	PE3 (پیرسون نوع سوم)
تنگ اسفرجان، مندرجان	WAK (ویکبی)
هستیجان	EXP (نمایی)
بهشتآباد	UNF (یکنواخت)
تنگ پنج، لردگان، ماربران	GUM, EV1 (گامبل، مقادیر حد نوع اول)

هاسکینگ و والیس (V) تعریف شده و قبلًا تشریح شده است. نتایج حاصل از آزمون نیکویی برآذش در جدول ۶ نشان داده شده است. برابر با این جدول، به ترتیب توزیع‌های لجستیک تعمیم یافته، مقادیر حد تعمیم یافته، پیرسون نوع سوم و پارتو تعمیم یافته، مناسب‌ترین توزیع‌های منطقه برای برآورد سیلان

آزمون نیکویی برآذش به منظور تعیین مناسب‌ترین تابع توزیع منطقه

پس از اطمینان از همگن بودن منطقه، انتخاب مناسب‌ترین تابع توزیع برای منطقه انجام می‌شود. روش مورد استفاده در انتخاب مناسب‌ترین تابع توزیع مبتنی بر آماره Z می‌باشد، که توسط

جدول ۵. آزمون غیر یکنواختی ایستگاه‌های مورد مطالعه

D <sub>i</sub>	Lkurt	Lskew	Lcv	ایستگاه	شماره ایستگاه
۰/۴۹	۰/۱۳	۰/۳۶۷	۱۶/۲۸	گدارکبک	۱
۱/۴۳	۰/۴۷	۰/۵۹۸	۱۷۵/۹۶۹	تنگ سولگان	۲
۱	۰/۱۲	۰/۳۶۳	۵۰/۰۱۳	تنگ زردآلو	۳
۳/۸۴	۰/۰۴	۰/۱۳۵	۳۸۶/۷۸	بارز	۴
۰/۴۹	۰/۱۴	۰/۱۹۱	۱/۶۹	ماربران	۵
۰/۵	۰/۲۲	۰/۳۰۵	۱۷۹/۶۵۷	مرغک	۶
۱/۲۷	۰/۲۸	۰/۴۳۸	۲۲۳/۸۹	ارمند	۷
۰/۱	۰/۲۶	۰/۳۷۹	۱۰/۰۳۲	لردگان	۸
۰/۶۳	۰/۰۱	۰/۰۸۲	۷۲/۳۶۱	کتا	۹
۱/۷۳	۰/۱۲	۰/۱۳۳	۲۷۲/۷۱	تنگ پنج	۱۰
۰/۴۳	۰/۱۲	۰/۲۵۳	۲/۸۸۷	حنا	۱۱
۰/۸۳	۰/۲۱	۰/۴۶۲	۴/۳۴۹	تنگ اسفرجان	۱۲
۰/۳۸	۰/۳۲	۰/۵۳۷	۷/۱۹۹	سواران	۱۳
۰/۵	۰/۳۹	۰/۴۷۷	۱۲/۲۶۸	اسکندری	۱۴
۱/۴۲	۰/۲۸	۰/۵۹۳	۴/۹۵۳	مندرجان	۱۵
۰/۱۹	۰/۲۱	۰/۳۹۴	۴۰/۹۴۵	پل زمانخان	۱۶
۰/۳۷	۰/۲۵	۰/۴۶۷	۳۴/۲۳۴	سراب هنده	۱۷
۱/۸۲	۰/۲۹	۰/۲۳۰	۱۷/۸۰۴	سد گلپایگان	۱۸
۱/۴۱	۰/۱۲	۰/۰۵۸	۲۸/۸۲۱	تنگ درکش	۱۹
۰/۶۱	۰/۳۶	۰/۶۰۸	۱۶/۲۵۹	وانشان	۲۰
۱/۱	۰/۰۰	-۰/۰۱۱	۵۵/۶۴۳	بهشت‌آباد	۲۱
۰/۹۵	۰/۰۳	۰/۰۶۴	۴/۰۳۹	چلگرد	۲۲
۰/۱	۰/۲۱	۰/۲۸۰	۸۲/۳۴	قلعه شاهرخ	۲۳
۳/۰۹	۰/۷۲۳	۰/۸۵۷	۱/۰۹۳	گبرآباد	۲۴
۰/۶۲	۰/۴۵۷	۰/۶۴۴	۰/۳۳۷	قمصر	۲۵
۱/۰۶	۰/۵۳۴	۰/۷۰۲	۰/۶۱۳	پل هنجن	۲۶
۰/۶۴	۰/۱۴۲	۰/۳۳۴	۲/۱۱۱	هستیجان	۲۷
-	۰/۲۳۷	۰/۳۵۹	۸۷/۹۴۸	میانگین وزنی	

## جدول ۶. آزمون‌های همگنی و نیکویی برآش ایستگاه‌های مورد بررسی

## آزمون همگنی

NUMBER OF SIMULATIONS = 500
OBSERVED S.D. OF GROUP L-CV = 111.4848
SIM. MEAN OF S. D. OF GROUP L-CV = 59.2535
SIM. S. D. OF AVE. L-CV / L-SKEW DISTANCE = 95.3109
STANDARDIZED TEST VALUE, H1 = 0.25
OBSERVED AVE. OF L-CV/L-SKEW DISTANCE = 90.7641
SIM. MEAN OF AVE. LCV/L-SKEW DISTANCE = 27.5529
STANDARDIZED TEST VALUE, H2 = 0.66
OBSERVED AVE. OF L-SKEW/L-KURT DISTANCE = 0.1941
SIM. MEAN OF AVE. L-SKEW/L-KURT KISTANCE = 0.1668
SIM. S. D. OF AVE. L-SKEW/L-KURT DISTANCE = 0.240
STANDARDIZED TEST VALUE, H3 = 1.14*

## آزمون برآزندگی

GEN. LOGISTIC L-KURTOSIS = 0.274	Z VALUE 0.44*
GEN. EXTREME VALUE L-KURTOSIS = 0.253	Z VALUE = -0.3*
GEN. NORMAL L-KURTOSIS = 0.225	Z VALUE = -1.31*
PEARSON TYPE III L-KURTOSIS = 0.176	Z VALUE = -3.03
GEN. PARETO L-KURTOSIS = 0.188	Z VALUE = -2.62

بزرگ نیستند، می‌توان چنین نتیجه گرفت که توزیع تناوب منطقه ضرورتاً چولگی و کشیدگی زیاد ندارد. هم‌چنین، مسئله تعیین داده‌های پرت در دوره آماری موجود بسیار مشکل است. در روش پیشنهادی هاسکینگ و والیس (۸) عامل  $D_i$  استفاده می‌شود. این عامل مبتنی بر نسبت‌های گشتاور خطی نمونه است.

با بر تعریف، اگر عامل  $D_i$  در یک ایستگاه بیش از ۳ باشد، آن ایستگاه ناهمانگ با ایستگاه‌های دیگر است. بدین ترتیب، ایستگاه‌های بارز و گبرآباد به عنوان ایستگاه‌های پرت شناخته شده‌اند. ایستگاه گبرآباد در حوزه آبریز قم قرار دارد. در این منطقه علاوه بر ایستگاه گبرآباد، سه ایستگاه پل هنجن، هستیجان و قمصر با شرایط اقلیمی و اکولوژیک نسبتاً مشابه وجود دارد. بنابراین، چنین انتظار می‌رود که هر چهار ایستگاه می‌باشد در شرایط مشابهی از لحاظ هیدرولوژیک باشند، در حالی که نتایج آزمون ناهمانگی خلاف آن را نشان می‌دهد. در نتیجه به نظر می‌رسد که عامل پیشنهادی  $D_i$  برای مطالعه ناهمانگی منطقه مورد بررسی چندان مؤثر نمی‌باشد. از سویی، برابر جدول ۴، مناسب‌ترین توزیع احتمالاتی در ایستگاه هستیجان توزیع نمایی است. در حالی که در ایستگاه‌های

شناخته شده‌اند. لازم به یادآوری است که توزیع‌هایی که با علامت ستاره مشخص شده‌اند به عنوان توزیع مناسب انتخاب شده‌اند.

## مقادیر تخمینی دبی منطقه بر اساس توزیع‌های منتخب

آخرین گام در تحلیل منطقه‌ای سیلاب، تخمین مقادیر جریان با تناوب مختلف در منطقه مورد بررسی است. جدول ۷ برای توزیع‌های لجستیک تعمیم یافته، مقادیر حد تعمیم یافته، نرمال تعمیم یافته و ویکبی مقادیر تخمینی دبی در دوره‌های بازگشت مختلف را نشان می‌دهد. هم‌چنین، پارامترهای منطقه‌ای توزیع‌های منتخب توسط روش گشتاور خطی تعیین گردیده است (جدول ۸).

## پیشنهادها

همان گونه که گفته شد، نسبت‌های گشتاور خطی نمونه، یعنی ضریب تغییرات (Lcv)، چولگی (Lskew) و کشیدگی (Lkurt) توزیع با استفاده از روش پیشنهادی هاسکینگ و والیس (۸) به دست می‌آید. میانگین ضرایب چولگی و کشیدگی خطی منطقه به ترتیب  $0/۳۸۹$  و  $۰/۲۳۷$  است. با توجه به این که این ضرایب

جدول ۷. توزیع‌های منتخب و مقادیر تخمینی دبی برای دوره‌های بازگشت مختلف

دوره بازگشت	۲	۱۰	۲۰	۱۰۰	۱۰۰۰
GL	۴۷/۷۵	۱۸۷/۸۹	۳۲۰/۸۱	۷۷۷/۷۳	۲۰۹۹/۶۱
GEV	۵۰/۱۹	۱۹۹/۳۱	۳۳۴/۳۶	۷۵۹/۵۳۱	۱۸۰۱/۷۷
WAK	۵۵/۹۵	۲۲۶/۶	۳۵۶/۵۲	۶۷۸/۷۳	۱۱۹۴/۳

جدول ۸. پارامترهای منطقه‌ای تخمینی توزیع‌های منتخب

توزیع	پارامتر	-	-	-۰/۳۵۹	-	-
GL	-۴۷/۷۵۱	۷۰/۴۳۸	-۰/۲۷۵	-۰/۳۵۹	-	-
GEV	-۸۵/۴۵۳	۹۱/۴۲۸	-۰/۲۷۵	-	-	-
WAK	-۱۶۹/۸	-	-	۱۶۱/۱۳۴	۰/۰۵۷	-

بین ایستگاهی را در گشتاورهای خطی نمونه مورد بررسی، با آنچه از یک ناحیه همگن انتظار می‌رود، مقایسه می‌کند. تغییرات بین ایستگاهی مورد انتظار از شبیه‌سازی مونت کارلو بر توزیع چهار پارامتری کاپا به دست می‌آید.

### سپاسگزاری

این پژوهش با استفاده از اعتبارات معاونت پژوهشی دانشگاه صنعتی اصفهان به اجرا در آمده است، که بدین وسیله تشکر و قدردانی می‌گردد.

قمصر، پل هنجن و گرآباد مناسب‌ترین توزیع، لوگ نرمال سه پارامتری می‌باشد. در نتیجه، داوری در مورد این که این چهار ایستگاه همگن بوده و حائز شرایط لازم برای استفاده در تحلیل منطقه‌ای سیلاب می‌باشند مشکل است، به ویژه آن که این چهار ایستگاه در منطقه اقلیمی خشک هستند، و در کنار دیگر ایستگاه‌های واقع در منطقه اقلیمی نیمه خشک تا نیمه مرطوب، در تحلیل منطقه‌ای سیلاب به کار می‌روند.

درجه ناهمگنی در داخل یک گروه از ایستگاه‌ها به وسیله معیار ناهمگنی H، که به وسیله هاسکینگ و والیس (۷ و ۸) پیشنهاد شده، به دست می‌آید. اساساً معیار ناهمگنی تغییرات

### منابع مورد استفاده

- Adamowski, K. 2000. Regional analysis of annual maximum and partial duration flood data by nonparametric and L-moment methods. *J. Hyd.* 229: 219-231.
- Greenwood, J. A., J. M. Landwehr, N. C. Matalas and J. R. Wallis. 1979. Probability Weighted Moments: definition and relation to parameters of several distributions expressible in inverse form. *Water Resour. Res.* 15(5): 1049-1054.
- Hosking, J. R. M. 1986. The Theory of Probability Weighted Moments. Research Report Rc12210, IBM Research, Yorktown Heights, New York.
- Hosking, J. R. M. 1990. L-moments: analysis and estimation of distributions using linear combinations of order statistics. *J. R. Stat. Soc., B.* 52(2): 105-124.
- Hosking, J. R. M. 1996. Fortran Routines for Use with the Method of L-moments. Version 3, Research Report RC205225, IBM Research Division, Yorktown Heights, New York.

6. Hosking, J. R. M. and J. R. Wallis. 1987. Parameter and quantile estimation for the Generalized Pareto distribution. *Technometrics* 29(3): 339-349.
7. Hosking, J. R. M. and J. R. Wallis. 1993. Some statistics useful in regional frequency analysis. *Water Resour. Res.* 29(2): 271-281.
8. Hosking, J. R. M. and J. R. Wallis. 1997. *Regional Frequency Analysis, An Approach Based on L-moments*. Cambridge University Press, London.
9. Hosking, J. R. M., J. R. Wallis and E. F. Wood. 1985. Estimation of the Generalised Extreme Value distribution by the method of Probability Weighted Moments. *Technometrics* 27: 251-261.
10. Landwehr, J. M., N. C. Matalas and J. R. Wallis. 1979. Probability Weighted Moments compared with some traditional techniques in estimating parameters and quantities. *Water Resour. Res.* 15(5): 1055-1064.
11. Pearson, C. P. 1991. New Zealand regional flood frequency analysis using L-moments. *J. Hyd. (New Zealand)* 30(2): 53-63.
12. Vogel, R. M., T. A. McMahon and F. H. S. Chiew. 1993. Flood flow frequency model selection in Australia. *J. Hyd.* 146: 421-449.
13. Wallis, J. R. 1989. *Regional Frequency Studies Using L-moments*. Research Report Rc 14597, IBM Research, Yorktown Heights, New York.
14. Wallis, J. R., N. C. Matalas and J. R. Slack. 1974. Just a moment. *Water Resour. Res.* 10(2): 211-219.